

BÖBREKTE KİTLE TEŞKİL EDEN LEZYONLARIN RENAL ANJİOGRAFİ, ULTRASONOGRAFİ VE KOMPUTERİZE TOMOGRAFİ İLE DEĞERLENDİRİLMESİ

Dr. Atilla SEMERCİÖZ*, Dr. Kadir YILMAZ**, Dr. Halim BOZOKLU**,

Dr. Ahmet ÖZTÜRK**, Dr. Mehmet KILINÇ**, Dr. Mehmet ARSLAN**

*S.Ü.T.F. Şişli Eftal Hastanesi Üroloji Kliniği, **S.Ü.T.F. Üroloji Anabilim Dalı

ÖZET

1986-1989 yılları arasında S.Ü. Tıp Fakültesi Üroloji Anabilim Dalında Intravenöz Urografide (IVU) böbrekte kitle teşkil eden lezyonu bulunan 10 vakaya diagnostik ultrasonografi, selektif renal anjioografi ve bunlar içinden 6 vakaya komputerize tomografi uygulandı. Bu metodlarda tespitteki doğruluk oranı ultrasonografi (US) ve renal anjiografide %90, komputerize tomografide (CT) ise %83 olarak tespit edildi.

Anahtar Kelimeler: Böbrekte kitle tespit ve teşhisi, ultrasonografi, renal anjioografi, komputerize tomografi.

SUMMARY

Evaluation of Kidney Masses with Renal Angiography, Ultrasonography and Computerized Tomography

Possible mass forming lesions revealed by intravenous urography (IVU) At The Department of Urology, Faculty of Medicine, Selçuk University from 1986 to 1989, studied further. The suspected lesions were then evaluated by diagnostic ultrasonography, selective renal angiography and additional computerized tomography for 6 of 10 patients. The true of massive lesions by ultrasonography and renal angiography were verification 90% and this was 83% for computerized tomography.

Key Words: Kidney masses, renal angiography, ultrasonography, computerized tomography.

GİRİŞ

Böbrekte kitle teşkil eden lezyonlar'ın tetkiki ve ayrıcı teşhisi çeşitli metodlarla yapılabilmektedir ve bu metodlar birbirini tamamlar mahiyettedir.

En basit ve rutin olarak uygulanan intravenöz ürografi (IVU), böbrek fonksiyonu ve kitlenin lokalizasyonu hakkında ön bilgi verir.

Noninvaziv bir tetkik olan ultrasonografi ile kitlenin lokalizasyonu, büyülüüğü ve karakteri tespit edilebilir.

Mazisi 1930 lu yıllara dayanan ve yıllar içinde teknik ve materyal yönden gelişme gösteren renal anjioografi, kitlenin lokalizasyonu, büyülüüğü, karakteri ve böbreğin damar anatomisi hakkında detaylı fikir verir. Başka hiçbir metodla damar anatomisi görüntülenemez.

Komputerize tomografi (CT) ve yakın yıllarda tıbbın hizmetine giren Magnetic Resonance Imaging metodu daha geniş detaylar vermesi yönyle üstünlük kazanmaktadır.

Haberleşme Adresi: Dr. Atilla Semercioz, Şişli Eftal Hastanesi, Üroloji Kliniği, İSTANBUL

MATERİYAL VE METOD

1986-1989 yılları arasında S.Ü. Tıp Fakültesi Üroloji Anabilim Dalında "Böbrekte kitle teşkil eden lezyonlu" 10 hasta çalışmaya dahil edilmiştir. Hastaların hepsinde IVU, Ultrasonografi, Renal Anjiografi ve 6 tanesine de CT yapılmıştır.

10 hastanın 6'sı kadın (%60), 4'ü erkektir (%40). En düşük yaş kadınarda 34, erkeklerde 45, en yüksek yaş kadınarda 75, erkeklerde 59'dur. Kadınların yaş ortalaması 54.5, erkeklerde 52'dir.

Hastalara renal anjiografi, seldinger metodu ile selektif olarak transfemoral yol kullanılarak uygulandı.

BULGULAR

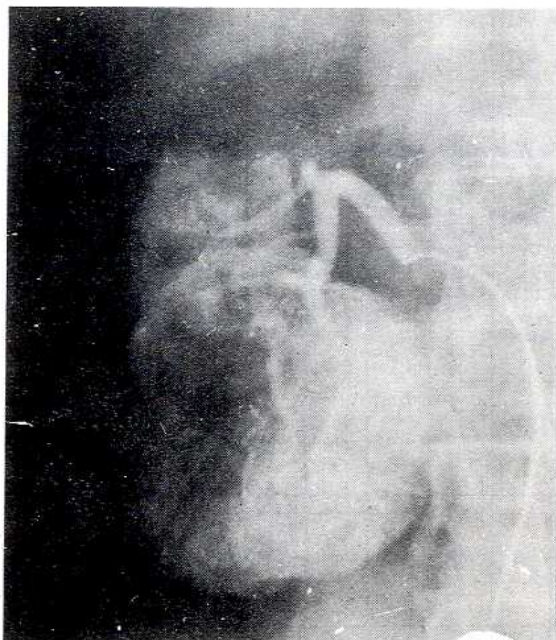
"Böbrekte kitle teşkil eden lezyonu" bulunan 10 erişkin vaka ürografik (Resim 1), ultrasonografik (Resim 2), anjiografik (Resim 3) ve komputerize tomografik (Resim 4) olarak incelenmiş tablo 1 ve 2'deki bulgular elde edilmiştir.



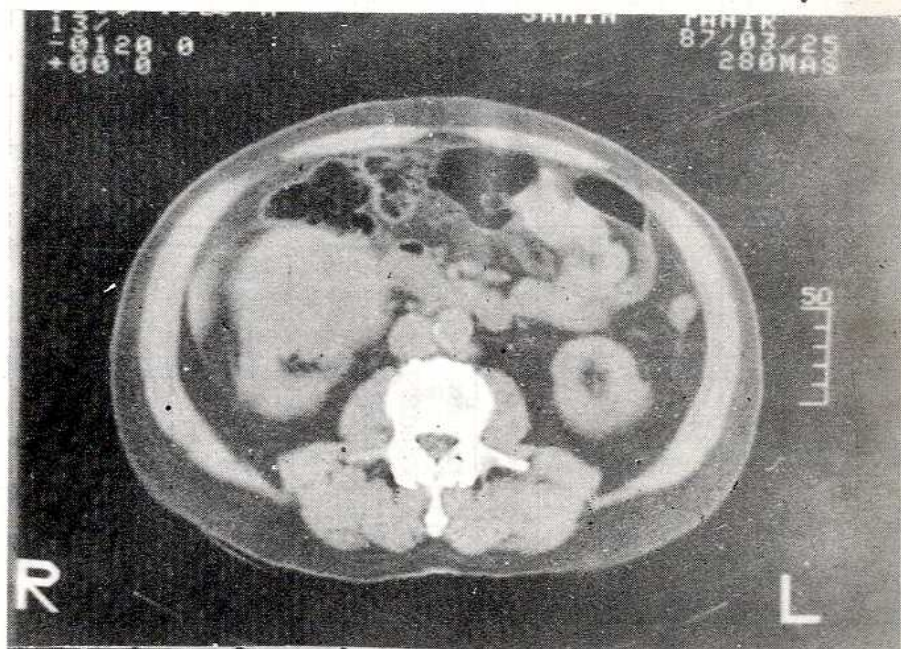
Resim 1: IVU'de her iki böbrekte süzme mevcut. Sağ böbrek kaliksleri deformelidir, böbrek ve alt kaliks grubu dıştan baskıya maruz görünlüyor. Kitle imajı mevcut.



Resim 2: Sağ böbrek alt polde 95 x 100 mm. ebatlı, ortası nekroze solid kitle mevcut.



Resim 3: Anjiografide sağ böbrek alt polde 10 cm. kadar ebatlı, vasküleritesi artmış, tümöral kitle mevcut. Renal arter çapı 9 mm. ölçüldü. Malign olarak değerlendirildi.



Resim 4: CT'de sağ böbrek hilusundan başlayan alt polü tutan, büyük lobüle konturlu, solid yapılı kitle içinde nekroze alanlar mevcut.

Tablo 1: Vakaların komputerize tomografi ve ürografi bulguları

Vaka ve protokol numarası	1/7383	2/7839	3/1991	4/2763	5/3603	6/3704	7/6989	8/7500	9/8333	10/1994
Kitlenin Karakteri	Solid Nekrotik	Solid Nekrotik	Solid Nekrotik	Solid Nekrotik	Solid Nekrotik	Solid Nekrotik	Solid Nekrotik	Solid Nekrotik	Solid Nekrotik	Solid Nekrotik
Kitlenin Lokalizasyonu	Alt-dis	Alt	Üst	Üst	Üst	Üst	Üst	Üst	Üst	Üst-alt
Kitl Kontu. Düzens.	+	+	+	+	+	+	+	+	+	+
Renal Ven Yayılımı	-	-	-	-	-	-	-	-	-	VenÇapı Artmış
Vena Kava Yayılımı	Yapışık	-	-	-	-	-	-	-	-	Düzensiz
Lenf Nodu Tutulması	-	-	-	-	-	-	-	-	-	-
Etraf Dokula. İtilme	-	-	-	-	-	-	-	-	-	-
Kapsül Dis. İnfilt.	Psoas Ad. VKT	Perirenal	Vertebra Korpusla	Psoas Ad.	Liposar-kom	Hipernef	Pararen. Periren.	-	-	-
Ön Teşhis	Hipernef	Hipernef	Hipernef	Hipernef	Hipernef	Hipernef	Hipernef	Hipernef	Hipernef	Hipernef
Taş	-	-	-	-	-	-	+	-	-	-
Kalsifikasiyon	-	-	-	-	-	-	-	-	-	-
Böbrekte fonksiyon	+	+	+	+	+	+	+	+	+	+
Kalikslerde bası	+	+	+	+	+	+	+	+	+	+
Kalikslerde gergi.	-	-	-	-	-	-	+	-	-	-
Kalikslerde ektazi	-	+	-	-	-	-	-	-	-	+
Fiz. Boş. Dol. Defek.	-	+	-	-	-	-	-	-	-	-
Böb. Kontur. Düzens.	-	+	-	-	-	-	+	-	-	-
Kitle	+	+	+	+	+	+	-	+	+	+
Üret. İtil. ve Gergi	-	-	+	-	-	-	-	-	-	-

Tablo II. Vakaların angiografi ve ultrason bulguları

ANJİOGRAFİ BULGULARI										
Vaka ve protokol numarası	1/7383	2/7839	3/1991	4/2763	5/3603	6/3704	7/6989	8/7500	9/8333	10/1004
Tutulan Böbrek	Sağ	Sağ	Sağ	Sol	Sol	Sol	Sağ	Sağ	Sağ	Sağ
Tümör Lokalizasyonu	Alt	Orta-Alt	Alt	Alt	Alt	Üst	Üst	Üst	Üst	Üst-Orta
Tümör Büyüklüğü (cm)	10	9	10	8	7	10	6	8	10	10
Renal Arter Çapı (mm)	8	7	9	7	5	4	6	6	9	6
Hiperv.-Avask.	Hiperv.	Hiperv.	Hiperv.	Hiperv.	Hiperv.	Hipov.	Hipov.	Hipov.	Hiperv.	Hiperv.
A-V Fistül Olu.	-	-	-	-	-	-	-	-	-	-
Kon. Mad. Göllen.	+	-	-	+	-	-	-	-	-	-
Nekroz	-	-	-	-	-	-	-	-	-	-
Damar İtilmesi	-	-	-	+	-	-	+	-	-	+
Teshis (Benign-Malign)	Malign	Malign	Malign	Malign	Malign?	Malign	Malign	Malign	Malign	Malign
Komplikasyon	-	-	-	-	-	-	-	-	-	-
US BULGULARI	Solid	Solid	Solid	Solid	Solid	Solid	Solid	Solid	Kistik	Nekrotik
Kitlenin Karakteri	Nekrotik	Solid	Nekrotik	Solid	Nekrotik	Solid	Solid	Solid	Nekrotik	Kistik
Kitlenin Lokalizasyonu	Alt	Orta-Alt	Alt	Alt	Üst	Üst	Üst	Üst	Üst-Orta	Alt
Kitlenin Büyüklüğü	107x86 x145	70x90	95x100	73x67	60x68	90x100	39x45	75x75	100	100

Ağrı, hematuri ve kitle (üçlü semptom) 4 vakada tespit edilmiştir (%40). Bir vakada kitleye ilaveten hematuri hikayesi vardı fakat laboratuar olarak tespit edilemedi. Ağrı ve kitle iki vakada birbirine eşlik ediyordu (%20). Ağrı ve hematuri bir vakada mevcuttu (%10). Ağrı 9 vakadan (%90) ikisinde tek semptomdu (%20). Ele gelen kitle 7 vakada mevcuttu (%70). 3 hastada kilo kaybı (%30), 4 hastada hipertansiyon (%40), 4 hastada ateş (%40), 5 hastada anemi (%50), 5 hastada sedimentasyonda artma (%50) görüldü.

TARTIŞMA

Bu çalışmada "böbrekte kitle teşkil eden lezyonu" bulunan 10 hasta incelenmiştir. Vakalar hakkında yeterli klinik bilgi ve laboratuar tetkikleri elde edildikten sonra ürografi, ultrasonografi, anjiografi ve komputerize tomografi uygulanmıştır.

Renal hücreli karsinoma (hipernefroma) sıklıkla 60-70 yaş grubunda görülür, erkeklerde kadınlardan iki kat fazladır (1,2,3). Yaş ortalaması kadınlarda 54.5, erkeklerde 52 olarak bulundu, klasik bulgu ile uyumlu idi. Hipernefroma teşhis edilen vakalarda erkek/kadın oranı 4/4 olarak bulundu.

Böbreğin sarkomları kadınlarda ve 40-60 yaş arasında sık görülür. Bizim 1 vakamız vardı ve yaşı 34 idi.

Hipernefromaların %44'ü üst, %41'i alt, %15'i orta kısımdan kaynaklanır (4). Hipernefroma, teşhis edilen vakalarımızın üçünde üst pol (%37), birinde üst ve orta kısım birlikte tutulmuştu. Dört vakada alt polden (%50) kaynaklanıyordu. Bir vakada orta ve alt pol birlikte tutulmuştu. Histopatolojik olarak perinefrit ve sarkoma teşhisi konan iki vaka üst polden menşe almıştı.

Renal hücreli karsinomada ağrı, hematuri, kitle, kilo kaybı, hipertansiyon, ateş, anemi ve sedimentasyon hızı artması sık rastlanan semptomlardır. Sarkomların semptomları da aynıdır.

	Kernion	Warren	Ochsner	Witten	Bizim Vakalar
Üçlü Semptom	%10	%15	--	--	%40
Ağrı	--	--	%40	%74	%90
Hematuri	%38	--	%40	%74	%90
Kitle	%24	--	%39	%42	%70
Sedimentasyon	%55	%55	--	--	%50
Ateş	%18	--	--	--	%40
Anemi	%36	%36	--	--	%30
Kilo Kaybı	%36	%34	--	--	%40
Hipertansiyon	%22	%37.5	--	--	--

Bu bulgular literatür ile uygunluk göstermektedir.

Tümör, renal korteksi tutmuşsa ve yeterli büyülüklükte ise sıklıkla direkt ürografide tespit edilebilir. Böbrek sınırlarında düzensizlik veya tek taraflı büyümelerden şüphe edilmelidir. Renal hücreli karsinomada, Mayo kliniğin bir araştırmasında %10.3 oranında kitle içinde kalsifikasyon tespit edilmiştir (2). Bizim vakalarımızda kitle içinde kalsifikasyon görülmedi. Bu durum vaka sayısının azlığına bağlıdır.

Ürografide böbrek fonksiyonunun derecesi ve böbrek fizyolojik boşlukları hakkında bilgi edinilir. Kitle tam obstrüksiyona sebeb olursa böbrek fonksiyon dışı kalır. Yine böbrek ana damarlarına yapılan baskı aynı şekilde netice verir. Çalışmamızda bütün vakalarda böbrekler fonksiyone idi, kalikslerde baskı mevcuttu ve 9 vakada kitle imajı vardı.

Tümör yada kist tarafından meydana getirilen renal kitlelerin ayırımı ultrason (US) ile büyük oranda yapılmaktadır. Böbrek tümörleri heterojen ekolar meydana getirerek solid kitle görünümü verirler, böbrek hudutları bozulur. IVU deki kitle görünümü öncelikle US ile tetkik edilmelidir. Doust'un bir çalışmasında kistik ve solid lezyonların %89 oranında ayırcı teşhisinin yapılabildiği, ultrasonografi ile böbrek tümöründe doğru teşhis oranının %83 olduğu bildirilmektedir (1). Schveck, kist ve karsinom vakalarında %70 oranında karakteristik eko bulguları tespit etmiştir (6). Çalışmamızda böbrekte kitle teşkil eden lezyonların US incelenmesinde kistik olarak değerlendirilenler dahil edilmemiştir, bu vakalar kist yönünden klinik olarak incelenmiştir. US ile solid lezyon teşhisi konulan 10 vakaya, anjografî ve bunların altısında CT uygulandı. Bu 10 vakanın bir tanesine histopatolojik olarak kronik nonspesifik perinefrit teşhisi kondu. US ile doğru teşhis oranı %90 olarak bulundu. Bulduğumuz netice literatürle uygunluk gösterdi.

Renal hücreli karsinomada anjografî olarak %80 vakada hipervaskülerizasyon, damarların gelişigüzel dağılımı, damarlarda bükülme ve kıvrılmalar, kontrast maddenin göllenmesi, arteriovenöz şantlar, arterlerin kenarlarında düzensizlik, tümör kitesinde boyanma, renal ven invazyonu, kollateral venler tespit edilebilir. Bu özellikler her vakada görülmeyebilir (3,7).

Renal sarkomlarda anjografî olarak arteriovenöz fistül olmayan hipovasküler solid tümörler gibidir. Karsinomdan ayırmak genellikle zordur (7).

Watson, 100 vakada karsinomayı %78 oranında hipervasküler, %16 hipovasküler olarak değerlendirmiştir (7). Skinner'e göre venöz yayılımı %10 oranındadır (2). Anjografî renal karsinomanın teşhisi %98 olarak doğru bulunur, ayrıca karsinomanın yayılmasının safhalandırılmasında %36-83 doğru netice verir (5,9).

Vakalarımızda kitlelerin çapı 6-10 cm arasında dayandı. Renal arter çapı 4-9 mm arasında ölçüldü. Hipervaskülerite %70 olarak bulundu. Hipovasküler olarak değerlendirilen vakalarımızdan birisine histopatolojik olarak sarkoma, birisine de perinefrit teşhisi konuldu.

Anjografî bulgularına göre 9 vaka malign, bir vaka şüpheli malign olarak değerlendirildi. Şüpheli malign olarak değerlendirilen vaka histopatolojik olarak sarkom teşhis edildi. Anjografînin bizim çalışmamızda teşhisteki doğruluk oranı %90 olarak bulundu. Klasik bulgu ve uygunluk literatür ile yakınlık göstermektedir.

Vakalarımızın altısına CT yapıldı. Bilindiği gibi böbrek tümörleri, parankimden çıkıştı yapan, dansitesi normalden fazla olan irregüler duvarlı nonhomojen kitleler olarak CT de görüntü verirler. CT renal ven ve vena cava inferiorun trombüsle tikanması, lenfadenoapatiler, karaciğer metastazı gibi bilgilerle evrelendirmeye ışık tutarlar.

Jasche, CT ile renal ven tutulmasının %91, vena cava yayılmasının %97, perirenal yayılmanın %79, lenf nodu metastazlarının %87, komşu organlara yayılmanın %96 oranında doğru olarak teşhis edildiğini bildirmiştir (1). Richie, bölgesel lenf nodu metastazlarının tespitinde anjografîye göre CT yi daha gerçekçi bulmuştur. Raval ise diğer metodlarla tespit edilememiş okkült renal carsinom vakalarının CT ile teşhis etmiştir (1). Bizim 6 vakamızın 5'inde CT ile hipernefroma, birinde liposarkom teşhisi kondu. Bu şüpheli liposarkom histopatolojik olarak perinefrit olarak değerlendirildi. Bizim çalışmamızda CT nin doğruluk oranı %83 olarak bulundu. Bulgumuz literatürle uyumludur.

Vakalarımızda metastaz oranı %40 idi. Schirmer ve Murphy ilk muayene ettiğleri hastalarda %30-47 oranında metastaz tespit etmişlerdir (2). Kernion'a göre kötü прогноз belirtileri; renal ven tutulması, lenf nodu tutulması, gerota fasyasına yayılma, komşu ve uzak

organ metastazlarıdır (1). Bizim bir vakamızda akciğer, iki vakamızda vertebralara ve bir vakamızda da batın içine yaygın metastaz tespit edildi. Bu bulgular literatürle uygunluk göstermektedir.

Evrelemede, ultrasonografi, anjiografi, CT bulguları, diğer röntgen bulguları ve histopatohojik bulgular esas alındı. Bir vakamız Evre I, üç vakamız Evre II, iki vakamız Evre III A, iki vakamız Evre IV A, iki vakamız Evre IV B olarak değerlendirildi. Evre IV A daki bir vaka inoperabl olarak kabul edildi. Evre IV B deki bir vaka operasyonu kabul etmedi.

7 vakamiza nefrektomi, bir vakamiza biopsi yapıldı. Birisi inoperabl olan biriside operasyonu kabul etmeyen toplam 5 vakamiza medroxy progesteron (provera) tedavisi uygulandı.

IVU de kalıkslere baskı ve kitle imajı tespit edilen vakalara diagnostik ultrasonografi yapılmalıdır. US ile kitlenen kistik veya solid yapıda olduğu yada kompleks yapıya sahip bulunduğu yüksek oranda tespit edilir.

Solid yada kompleks yapılı kitlelere mutlaka renal anjiografi yapılarak lezyonun lokalizasyonu, büyülüğu, vasküler beslenmesi, etraf dokulara irtibatı ayrıntılı olarak ortaya çıkarılmalıdır. Kitlenin detaylı tetkiki, venöz yayılma, lenfatik yayılma ve komşu organlara yayılma CT ile tespit edilerek evrelendirme, tedavi planı ve прогноз tayini mümkün olmaktadır. Böylece böbrek tümörlerinde ultrasonografi, renal anjiografi ve CT birbirini tamamlayan vazgeçilmez tetkik metodlarıdır.

KAYNAKLAR

1. De Kemon JB. Renal Tumors. In: Patrick CW, eds, Campbell's Urology. Philadelphia: WB Saunders, 1986: 1294-1342.
2. Myers GH, Witten DM, Utz DC. Tumor of the genitourinary tract. In: Witten DM, eds, Emmet's Clinical Urgraphy. Philadelphia: WB Saunders, 1977: 1467-1766.
3. Kadir S. Diagnostic Angiography. Philadelphia: WB Saunders, 1986: 472-483.
4. Bozkırlı İ. Yeni Üroloji, Ankara: A. Ü. Basimevi, 1987: 413-424.
5. Leinonen A, Paivansalo M, Kontturi M. Ultrasonography, arteriography and CT in the diagnosis of renal carcinoma. Ann Clin Res 1984; 40: 27-30.
6. Schreck WR, Holmes JH. Ultrasound as a diagnostic aid for renal neoplasms and cysts. The Journal of Urology 1970; 103: 281-285.
7. Abrams HL, Adams DF. Renal and adrenalangiography. In: Patrick CW, eds, Campbell's Urology. Philadelphia: WB Saunders, 1986: 443-447.
8. Chait A. Current Status of Renal Angiography. Uro Clin of North America 1985; 12-4: 687-698.
9. Leinonen A, Suramo I, Paivansalo M, Kontturi M. Ultrasonography, CT and arteriography in the evaluation of the local spreading of malignant renal neoplasm. Ann Clin Res 1984; 40: 31-35.